

فرآیندهای نوین در مهندسی مواد

ma.iaumajlesi.ac.ir

سنتر تک مرحله‌ای نانو ذرات اکسید آهن سوپر پارامغناطیسی دوب شده با کاتیون‌های فلز روی و پوشیده شده با ساکاریدها برای کاربردهای زیست‌پزشکی

مقاله پژوهشی

مصطفی آفازاده^{۱*}، حمزه فراتی‌راد^۲

۱- دانشیار، پژوهشکده چرخه سوت هسته‌ای، پژوهشگاه علوم و فنون هسته‌ای ایران، تهران، ایران.

۲- استادیار، پژوهشکده چرخه سوت هسته‌ای، پژوهشگاه علوم و فنون هسته‌ای ایران، تهران، ایران.

maghazadeh@aeoi.org.ir*

چکیده

در این مقاله، سنتر سه نوع نانو ذرات اکسید آهن (IONs) سوپر پارامغناطیس شامل نانو ذرات اکسید آهن دوب شده با Zn^{2+} و پوشیده شده با گلوکز (گلوکز/Zn-IONs)، نانو ذرات اکسید آهن دوب شده با Zn^{2+} و پوشیده شده با ساکارز (ساکارز/Zn-IONs) و نانو ذرات اکسید آهن دوب شده با Zn^{2+} و پوشیده شده با نشاسته (نشاسته/Zn-IONs) گزارش شده است. این نانو ذرات اکسید آهن با سنتر الکتروشیمیایی از طریق رسوب‌دهی کاتدی تهیه شدند. به طوری که، طی یک مرحله سنتزی و هم‌زمان با درج شدن کاتیون‌های فلز روی (Zn^{2+}) درون ساختار بلوری مگنتیت، پوشش لایه ساکاریدی نیز روی سطح IONs انجام می‌شود. دوپ شدن کاتیون‌های Zn^{2+} در ساختار مگنتیت با روش‌های طیف‌سنگی تبدیل فوریه (FT-IR)، میکروسکوپ اکترونی روبشی گسیل میدانی (FE-SEM) و پراش انرژی ایکس (EDX) تأیید شد. تصاویر میکروسکوپ الکترونی روبشی گسیل میدانی نشان دادند که مورفوولوژی ذرات سنتز شده به صورت کروی است. آنالیزها ساختار بلوری سوپر پارامغناطیس نمونه‌های آماده شده با ۱۰ درصد دوپت روی را تأیید کردند. ارزیابی مغناطیس با مغناطیس سنج نمونه مرتعش (VSM) رفتار سوپر پارامغناطیس را برای نمونه‌های ساخته شده تأیید کرد و مقادیر و ادارنگی (Hc) و پسماند مغناطیسی (Mr) کوچکی مشاهده شد. مقدار و ادارنگی برای گلوکز/Zn-IONs، ساکارز/Zn-IONs و نشاسته/Zn-IONs به ترتیب ۳/۶، ۸/۹ و ۹/۲ Oe اندازه‌گیری شد. همچنین مقدار پسماند مغناطیسی نیز برای همین نمونه‌ها به ترتیب برابر با ۰/۰۹ و ۰/۰۹ emu g^{-۱} تعیین شدند.

One-Step Synthesis of Super paramagnetic Iron Oxide Nanoparticles Doped with Zinc Cations and Coated with Saccharides for Biomedical Applications

Mustafa Aghazadeh^{۱*}, Hamzeh Foratirad^۲

۱- Associate Professor, Nuclear Fuel Cycle Research School, Nuclear Science and Technology Research Institute (NSTRI, Tehran, Iran).

۲- Assistant Professor, Nuclear Fuel Cycle Research School, Nuclear Science and Technology Research Institute (NSTRI, Tehran, Iran).

* maghazadeh@aeoi.org.ir

Article Information

Original Research Paper

Dor:

۲۰۰۱۰۱۱۲۴۲۲۳۲۲۶۱۴۰۲۱۷۲۴۰

Abstract

In this paper, three-types of metal-cations doped superparamagnetic iron oxide nanoparticles (IONs) including glucose-grafted Zn^{2+} -doped MNPs (glucose/Zn-IONs), sucrose-grafted Zn^{2+} -doped IONs (sucrose/Zn-IONs) and starch-grafted Zn^{2+} -doped IONs (starch/Zn-IONs) are

برای ارجاع به این مقاله از عبارت ذیل استفاده نمایید:

Please cite this article using:
Mustafa Aghazadeh, Hamzeh Foratirad, One-Step Synthesis of Super paramagnetic Iron Oxide Nanoparticles Doped with Zinc Cations and Coated with Saccharides for Biomedical Applications, New Process in Material Engineering, ۲۰۲۲, ۱۷(۲), ۵۳-۶۰.

Keywords:

Nanoparticles
Electrochemical Synthesis
Iron Oxide
Saccharides
Magnetism

نشان می‌دهند اما هیچ تفاوتی در جذب در سلول‌های اندوتیال ورید ناف انسان (HUEVCs) ندارند [۱۴]. شکل نانو ذرات اکسید آهن نیز ویژگی‌های سوپر پارامغناطیسی، زمان گردش خون و توزیع زیستی آن‌ها را تحت تأثیر قرار می‌دهد [۱۳-۱۴].

علاوه بر اندازه، بار سطحی و شکل نانو ذرات اکسید آهن، دستکاری سطح نانو ذرات اکسید آهن فاکتور بسیار تأثیرگذاری در برهمکنش این ذرات با اعضای درون تنی و سازگاری زیستی آن‌ها می‌باشد. در حالی که IONs بدون پوشش سطحی، سازگاری زیستی و تجزیه‌پذیری زیستی ضعیف و ناپایداری شیمیایی در محیط فیزیولوژیکی دارند [۱۵]. به همین جهت، پوشش‌دهی سطحی می‌تواند به صورت مؤثری در پایداری کلوئیدی، گردش خون طولانی‌تر، کاهش سمیت سلولی و جلوگیری از اکسیداسیون IONs تأثیرگذار باشد. در این مورد، پوشش‌دهی نانو ذرات اکسید آهن با پلیمرهای مختلف، لایه‌های آلی و غیرآلی شامل کیتوسان، پلی‌اتیلن گلیکول، اسید اولئیک، دکستران، اسید آمینه‌ها، ساکارز مورد بررسی قرار گرفته است [۲۰-۲۱].

نانو ذرات مغناطیسی مگنتیت به دلیل داشتن سطح ویژه بالا بسیار واکنش‌پذیر می‌باشند. وجود نیروهای واندروالس و نیروی مغناطیسی در میان نانو ذرات منجر به کلوخه‌ای شدن آن‌ها می‌شود زیست عمل‌گرا کردن نانو ذرات مغناطیسی نوعی اینکپسوله کردن نانو ذرات با بیومولکول‌ها است که از کلوخه‌ای شدن و اکسید شدن آن‌ها در معرض هوا جلوگیری می‌کند [۲۱]. همچنین، نانو ذرات مغناطیسی ذاتاً آبدوست هستند و همین امر از پراکنده شدن آن‌ها در آب جلوگیری می‌کند و باعث می‌شود آن‌ها به دورهم جمع شده و آگلومره شوند. با قرار گرفتن لایه ساکاریدی بر سطح نانو ذرات مغناطیسی، نانو ذرات در آب پراکنده می‌شوند. پوشش

۱- مقدمه

نانو ذرات اکسید آهن^۱ (IONs) سوپر پارامغناطیس به علت ویژگی‌های مغناطیسی قابل تنظیم آن‌ها و عملکرد نانومقیاس منحصر به‌فردشان به صورت گسترده‌ای برای کاربردهای زیستی-پزشکی مورد مطالعه قرار گرفته‌اند [۱-۲]. در سال-های اخیر، نانو ذرات اکسید آهن به عنوان کاندیداهای بالقوه در زمینه‌های تشخیصی مانند تصویربرداری رزونانس مغناطیسی^۲، بیحرکت‌سازی آنزیم^۳، سنجش زیستی^۴ و علامت-گذاری سلولی^۵ و سیستم‌های دارورسانی^۶، تشخیص باکتری-ها، جداسازی مغناطیسی و گرمادرمانی^۷ (افزایش دما در بافت سرطانی) معروفی شده‌اند [۳-۶]. همچنین، این نانو ذرات سوپر پارامغناطیسی به صورت وسیعی برای کاربردهای ذخیره بار، جاذب و کاتالیست مورد توجه قرار گرفته‌اند که به حالت‌های اکسیداسیونی مختلف، سنتز سریع، قیمت پایین، عامل دار سازی آسان و برخی ویژگی‌های فیزیکی، شیمیایی و حرارتی آن‌ها مرتبط می‌باشد [۷-۱۱].

ویژگی‌های اصلی نانو ذرات اکسید آهن که منجر به کاربرد زیست-پزشکی به خصوص برای استفاده درون تنی آن‌ها شده است عبارت‌اند از: بار سطحی، شکل، اندازه، انرژی و ویژگی‌های مغناطیسی [۱۲]. برای مثال، بار سطحی نانو ذرات اکسید آهن نقش مهمی را در برهمکنش آن‌ها با محیط‌های بیولوژیکی نظیر بسیاری از اجزای بدن، سیستم ایمنی، ماتریس‌های خارج سلولی، پروتئین‌های پلاسمما و سلول‌های غیر هدفمند ایفا می‌کند [۱۳]. همچنین، اندازه IONs در ابر پارامغناطیسی بودن آن‌ها نقش تعیین‌کننده‌ای دارد که این خاصیت را در حضور میدان اعمالی و نیز در شرایط حذف میدان بروز می‌دهند. نانو ذرات اکسید آهن با بار سطحی مثبت بازده جذب سلولی بالاتری را در سلول‌های سرطانی پستان در مقایسه با نانو ذرات اکسید آهن با بار سطحی منفی

سنتز نانو ذرات اکسید آهن خالص و دوب شده با کاتیون‌های فلزات نیز گزارش شده است [۳۲-۳۳].

در این پژوهش، سنتز تک مرحله‌ای نانو ذرات اکسید آهن ابر پارامغناطیس دوب شده با کاتیون‌های Zn^{2+} و پوشیده شده با برخی ساکاریدها (از جمله گلوکز، ساکارز و نشاسته) به روش الکتروشیمیایی انجام شده است. نمونه‌های تهیه شده عبارت‌اند از گلوکز/Zn-IONs، ساکارز/Zn-IONs و نشاسته/XRD، که با آنالیزهای ساختاری، مغناطیسی و مورفولوژیکی (XRD، FE-SEM، EDS و FT-IR VSM) مشخصه یابی شده‌اند.

۲- مواد و روش‌ها

۱- مواد

در این پژوهش، مواد شیمیایی شامل کلرید آهن (II) چهار آبه با خلوص ۹۹/۵٪ و فرمول شیمیایی $FeCl_2 \cdot 4H_2O$ با کد ۹-۱۰-۱۳۷۸، نیترات آهن (III) نه آبه با خلوص ۹۹/۹٪ به فرمول شیمیایی $Fe(NO_3)_3 \cdot 9H_2O$ با کد ۶۱-۶۱-۷۷۸۲، کلرید روی (II) چهار آبه با خلوص ۹۹/۵٪ و فرمول شیمیایی $ZnCl_2 \cdot 4H_2O$ با کد ۷-۸۵-۸۵-۷۶۴۶، اتانول ۹۶٪ به فرمول شیمیایی C_2H_5OH با کد ۱۷-۵-۶۴، گلوکز به فرمول مولکولی $C_6H_{12}O_6$ با وزن مولکولی ۱۸۰/۱۶ و کد ۷-۹۹-۵۰، ساکارز به فرمول مولکولی $C_{12}H_{22}O_{11}$ با وزن مولکولی ۳۴۲/۳ g/mol و کد ۱-۵۰-۵۷ و نشاسته با فرمول مولکولی $[C_6H_{10}O_5]_n$ و کد ۶-۶۷۹-۲۲۲ نیز کمپانی سیگما خریداری و مورد استفاده قرار گرفتند. ورقه گرافیت و فولاد زنگ نزن (۳۱۶L) نیز خریداری و به عنوان الکترودهای آندی و کاتدی بکار برده شدند.

۲- آماده‌سازی نمونه

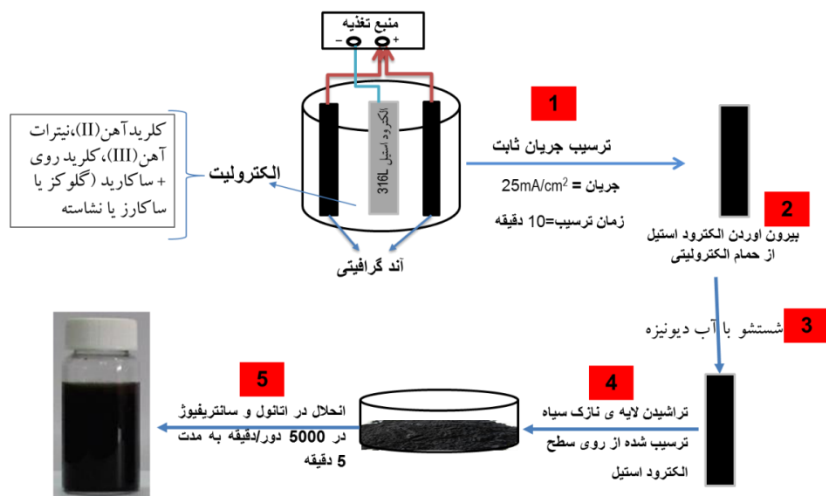
در این پژوهش، روش رسوب‌دهی الکتروشیمیایی کاتدی برای تهیه نانو ذرات اکسید آهن مورد استفاده قرار گرفت. فلوجارت مراحل تهیه نمونه‌ها در شکل (۱) ارائه شده است. سلول الکتروشیمیایی، یک بشر یک لیتری حاوی حمام

ساکاریدی از نانو ذرات مغناطیسی در برابر اکسیداسیون محافظت به عمل می‌آورد و پایداری کلوئیدی آن‌ها را تقویت می‌کند و همچنین از ذرات هنگامی که در معرض سیستم بیولوژیکی قرار می‌گیرند محافظت می‌کند. به عبارتی دقیق‌تر، اصلاح سطوح نانو ذرات مغناطیسی با لایه ساکاریدی نه تنها از آگلومره شدن و اکسیداسیون آن‌ها ممانع می‌کند بلکه آن‌ها را زیست سازگار نیز می‌کند [۲۴-۲۲]. برای مثال، تأثیر پوشش نشاسته بر میزان زیست سازگاری نانو ذرات مغناطیسی آهن بر رده سلولی MDA-MB-۲۳۱ توسط قاسم‌پور و همکارانش بررسی شده و ارزیابی سلولی آن‌ها نشان داده که نانو ذرات مغناطیسی اکسید آهن در غلظت ۳۰ $\mu\text{g}/\text{ml}$ و نانو ذرات زیست سازگار شده با پوشش نشاسته در غلظت ۱۸۰ $\mu\text{g}/\text{ml}$ در زمان ۲۴ ساعت باعث مرگ ۵۰٪ از سلول‌های رده سلولی MDA-MB-۲۳۱ می‌شوند. لذا نتیجه گرفته در حضور پوشش زیست سازگار نشاسته، سمعیت نانو ذرات مغناطیسی کم شده و می‌توان به مقدار بیشتری از آن‌ها به بدن وارد کرده و اثربخشی بهتر روش هایپرترمیا (گرمادرمانی) درمان سرطان سینه را نتیجه گرفت [۲۵]. علاوه بر اصلاح سطح نانو ذرات مغناطیسی، دوپه کردن نانو ذرات اکسید آهن با کاتیون‌های فلزات واسطه و لانتانیدی به عنوان یکی از کارآمدترین و ساده‌ترین روش‌ها برای دستیابی به خواص چند منظوره بهینه IONs گزارش شده است [۲۶-۲۷]. اکسیدهای آهن دوب شده عملکرد بسیار بهبود یافته‌ای را برای طیف گسترده‌ای از کاربردهای زیست پزشکی، از جمله هایپرترمی مغناطیسی و تصویربرداری رزونانس مغناطیسی (MRI)، در مقایسه با اکسید آهن خالص نشان داده‌اند [۲۸-۲۹].

تاکنون مسیرهای شیمیایی مختلفی مانند هم رسوی، هیدروترمال، میکرومولسیون، سل-ژل، تجزیه حرارتی و حلال گرمایی برای تهیه نانو ذرات اکسید آهن خلوص بالا و زیست سازگار برای اهداف زیست-پزشکی به کار گرفته شده است [۳۰-۳۱]. علاوه بر این روش‌های سنتزی گزارش شده، مسیر الکتروشیمیایی به عنوان یک روش کارآمد برای

تغییر نوع ساکارید حل شده در حمام الکتروولیتی انجام شد. بعد از هر مرحله رسوب‌دهی، چهار مرحله خالص‌سازی به شرح انجام شد که در شکل (۱) به طور شماتیکی نشان داده شده است: ابتدا، ورقه‌های فولادی از حمام الکتروولیتی بیرون آورده و چندین مرتبه با آب دیونیزه شستشو داده شد. در مرحله دوم، لایه‌های نازک سیاه ترسیب شده از روی سطح ورقه‌های فولادی تراشیده شدند و در ۵۰۰ cc اتانول حل شدند. در مرحله سوم، محلول‌ها به منظور حذف ساکاریدهای آزاد، در دور ۵۰۰۰ rpm و به مدت ۵ min ۵ سانتریفیوژ شدند. در مرحله چهارم، پودرهای سیاه رنگ با استفاده از یک آهن‌ربا از محلول خارج شدند و در یک آون خلا در دمای ۸۰°C و به مدت ۵ ساعت خشک شدند. پودرهای خشک شده با توجه به ترکیب الکتروولیت (که حاوی گلوکر، ساکارز Zn-IONs و نشاسته بود) به ترتیب نمونه‌های گلوکر/Zn-IONs ساکارز/Zn-IONs و نشاسته/Zn-IONs نام‌گذاری شدند (شکل (۱)).

الکتروولیتی می‌باشد و دو صفحه‌ی گرافیتی موازی در ابعاد ۵ cm × ۵ cm به عنوان آند و یک ورقه فولاد زن نزن L ۳۱۶ با ابعاد ۵ cm × ۵ cm که در مرکز سلول الکتروشیمیایی قرار می‌گرفت، به عنوان کاتد بکار برده شدند. ترکیب الکتروولیت شامل ۵۰۰ سی سی آب دیونیزه حاوی ۰/۷۵ گرم کلرید آهن (II)، ۱/۵ گرم نیترات آهن (III)، ۰/۲۵ گرم کلرید روی و ۰/۲۵ گرم ساکارید (یعنی گلوکر، ساکارز یا نشاسته) بود. الکترودهای کاتد و آند به یک منبع تغذیه DC (۸۰۰۰ mA) به عنوان منبع اعمال جریان ثابت متصل شدند (شکل (۱)). رسوب‌دهی الکتروشیمیایی نانو ذرات اکسید آهن دوپه شده با Zn^{2+} و بدون پوشش، در دانسیته جریان ۲۵ mA cm^{-۲} به مدت ۱۰ دقیقه انجام و یک رسوب سیاه رنگ روی سطح Zn-ION ۳۱۶L تشکیل گردید که این نمونه Zn-IONs نام‌گذاری شد. برای سترنز نمونه‌های گلوکر/Zn-IONs ساکارز/Zn-IONs و نشاسته/Zn-IONs سه آزمایش رسوب‌دهی الکتروشیمیایی در سه حمام الکتروولیتی مشابه و فقط با





شکل (۱): فلوچارت مراحل تهیه نمونه‌ها.

الگوهای XRD، پیک‌های مشخصی در موقعیت‌های دو تای ۱۸، ۳۰، ۳۵، ۴۳، ۵۴، ۵۷ و ۶۴ وجود دارند که به ترتیب با صفحات بلوری فاز مگنتیت با اندیس‌های میلر (۱۱۱)، (۲۲۰)، (۳۱۱)، (۴۰۰)، (۴۲۲)، (۵۱۱) و (۴۴۰) مطابقت دارند. همچنین این الگوها مشابه الگوهای گزارش شده برای نانو ذرات Fe_3O_4 در مقالات منتشر شده هستند [۱۹، ۳۰-۳۲]. میانگین اندازه بلوری نانو ذرات با استفاده از روش دبای-شر و رابطه $D = \lambda/\beta\cos\theta$ قابل محاسبه است که در این رابطه D میانگین اندازه بلورینه‌ها، λ طول موج تابشی، β پهنه‌ی پیک در نصف ارتفاع پیک و θ زاویه پراش هستند. با استفاده از اطلاعات پیک (۳۱۱)، میانگین اندازه دانه اکسید آهن برای نمونه‌های گلوكز/ Zn-IONs ، ساکارز/ Zn-IONs و نشاسته/ Zn-IONs به ترتیب برابر با $6/2$ ، $4/7$ و $7/6$ نانومتر محاسبه شد. نتایج آنالیز XRD موارد زیر را تأیید می‌کند: الف) دوپ شدن کاتیون‌های Zn^{2+} در ساختار اکسید آهن، نوع فاز کریستالی آن را تغییر نمی‌دهد که میان این نکته است که برخی کاتیون‌های آهن (II) در موقعیت‌های هشت وجهی (اکتاکتدرال) با کاتیون‌های Zn^{2+} جایگزین شده‌اند به طوری که ساختار اسپینل معکوس اکسید آهن حفظ شده است. ب) در حضور ساکاریدها تأثیری بر نوع فاز اکسید آهن رسبوده شده ندارد ولی اندکی بر اندازه دانه‌بندی اکسید آهن تشکیل شده در سطح کاتد تأثیرگذار می‌باشد.

۳-۲- تکنیک‌های مشخصه‌یابی

الگوهای پراش پرتوایکس (XRD) نمونه‌های گلوكز/ Zn-IONs ، ساکارز/ Zn-IONs و نشاسته/ Zn-IONs با استفاده از دیفرکتومنتر Phillips PW-1800 با لامپ مسی ثبت گردیدند. اندازه دانه و مورفلوژی نمونه‌ها با تجهیز FE-SEM (مدل Mira ۳-XMU) و ولتاژ شتاب‌دهنده ۱۰۰ kV آنالیز شدند. ترکیب عنصری نمونه‌های آماده شده با استفاده از دتکتور آنالیز پراش انرژی ایکس دستگاه FE-SEM تعیین شد. طیف‌سنجی مادون قرمز تبدیل فوریه (FT-IR) نمونه‌ها با دستگاه بروکر مدل ۲۲ Vector انجام شد. ارزیابی مغناطیسی نمونه‌ها با دستگاه مغناطیس‌سنج نمونه مرتعش (مدل Lakeshore ۷۴۱۰) در دمای اتاق و با ثبت مغناطیس پذیری بر حسب میدان اعمالی در محدوده ۲۰۰۰۰-۲۰۰۰ Oe انجام شد.

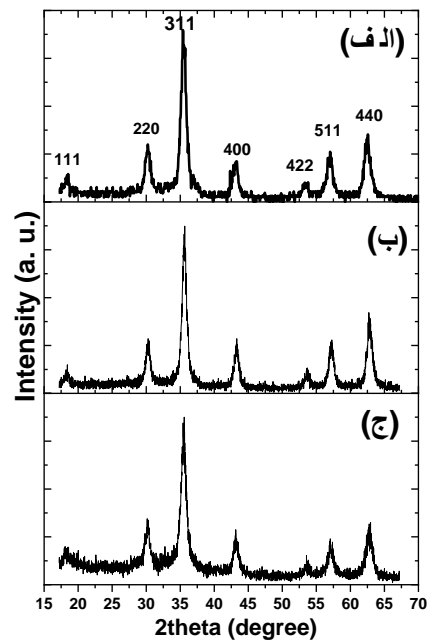
۳- نتایج و بحث

۳-۱- ساختار بلوری

الگوهای پراش پرتوایکس نمونه‌های گلوكز/ Zn-IONs ، ساکارز/ Zn-IONs و نشاسته/ Zn-IONs در شکل (۲) نشان داده شده است. تمامی پیک‌های مشاهده شده در الگوهای پراش هر سه نمونه مشابه با پیک‌های الگوی پراش استاندارد با شماره کارت JCPDS ۸۵-۱۴۳۶ بوده و متعلق به فاز مگنتیت اکسید آهن (Fe_3O_4) است. در حقیقت، در همه

برای گروه های CH_2 در طول موج 1275 cm^{-1} ، ارتعاش کششی برای پیوندهای C-O در طول موج 1166 cm^{-1} ، ارتعاش خمثی برای پیوندهای C-C در طول موج 1051 cm^{-1} ، ارتعاش کششی برای باندهای C-O-H حلقه گلوکز در طول موج 1014 cm^{-1} ، ارتعاش کششی برای گروه های -OH در طول موج 970 cm^{-1} و برای گروه های CH_2 در طول موج 872 cm^{-1} بنابراین، این داده های FT-IR کاملاً مربوط به پیوندهای شیمیایی موجود در ساختار گلوکز بوده و در نتیجه وجود لایه پوششی گلوکزی را در سطح Zn-IONs تأیید می کند.

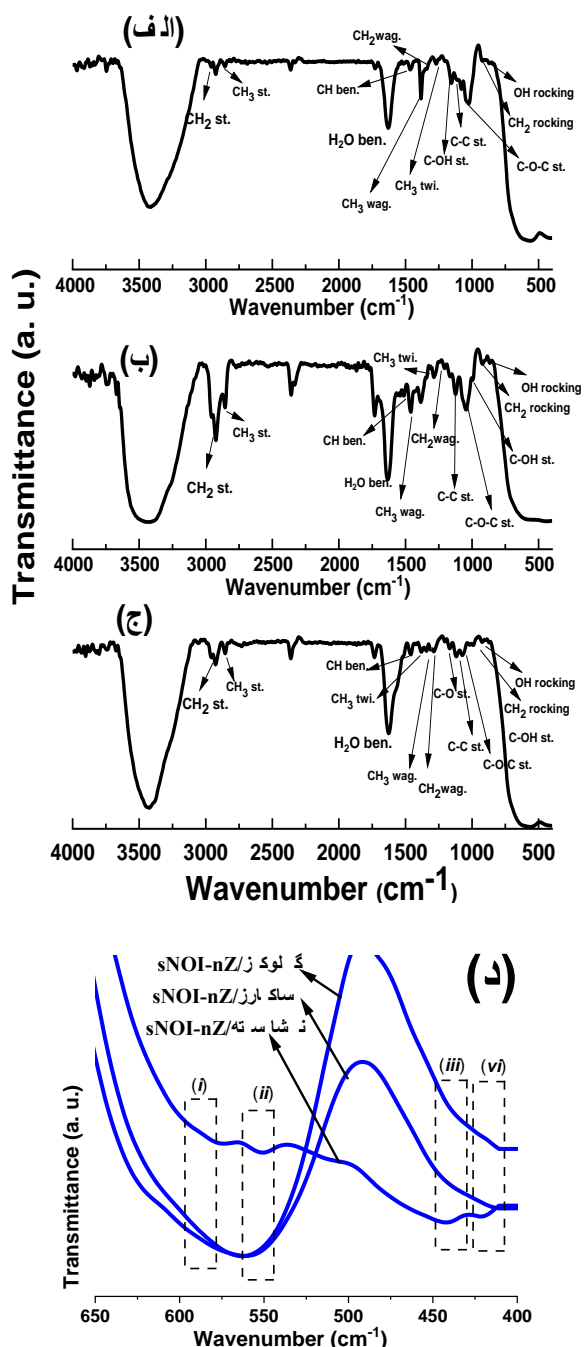
برای نمونه ساکارز/Zn-IONs، جذب هایی در طول موج های مختلف (شکل ۳-ب) مشاهده می شود که متعلق به ارتعاش باندهای شیمیایی ذکر شده در ادامه است [۳۸-۳۵]: ارتعاش های کششی گروه های O-H در $3400-3500 \text{ cm}^{-1}$ ارتعاش های کششی نامتقارن برای گروه های CH_2 در 2941 cm^{-1} ، ارتعاش های کششی متقابن برای گروه های CH_2 در 2883 cm^{-1} ، ارتعاش های خمثی مولکول های آب در 1465 cm^{-1} ، ارتعاشات خمثی باندهای C-H در 1644 cm^{-1} ، ارتعاش جنبه ای برای گروه های CH_2 در طول موج 1381 cm^{-1} ، ارتعاش پیچشی برای گروه های CH_2 در طول موج 1441 cm^{-1} ، ارتعاش جنبه ای برای گروه های CH_2 در طول موج 1384 cm^{-1} ، ارتعاش کششی برای پیوندهای C-C در طول موج 1268 cm^{-1} ، ارتعاش کششی برای پیوندهای C-O در طول موج 1109 cm^{-1} ، ارتعاش کششی پیوندهای C-O- H در طول موج 1034 cm^{-1} ، ارتعاش کششی برای باندهای C-O-C حلقه ساکارز در طول موج 1021 cm^{-1} ، ارتعاش عرضی برای گروه های -OH در طول موج 979 cm^{-1} ، ارتعاش کششی برای گروه های CH_2 در طول موج 876 cm^{-1} و برای گروه های CH_2 در طول موج $41-38 \text{ cm}^{-1}$. جذب های مادون قرمز ذکر شده در بالا تمامی ارتعاشات باندهای شیمیایی مرتبط با ساکارز را شامل می شود و از این رو پوشش دهی ساکارز روی نانو ذرات IONs تأیید می گردد.



شکل (۲): الگوهای پراش پرتوایکس نمونه های (الف) گلوکز-/Zn-IONs، (ب) ساکارز/Zn-IONs و (ج) نشاسته/Zn-IONs

۲-۳- طیف سنجی مادون قرمز تبدیل فوریه

به منظور تأیید وجود لایه ساکاریدی در سطح نانو ذرات اکسید آهن سنتز شده، نمونه های گلوکز-/Zn-IONs و نشاسته/Zn-IONs با طیف سنج مادون قرمز تبدیل فوریه آنالیز شدند. شکل ۳ طیف مادون قرمز نمونه های سنتز شده را نشان می دهد. برای نمونه گلوکز-/Zn-IONs، پیک های جذبی در محدوده طول موج های $3000-7000 \text{ cm}^{-1}$ (شکل ۳-الف) مشاهده می شود که متعلق به ارتعاش پیوندهای شیمیایی ذکر شده زیر است [۳۶-۳۴]: ارتعاش کششی گروه های OH- در طول موج 3460 cm^{-1} ، ارتعاش کششی نامتقارن گروه های CH_2 در طول موج 2945 cm^{-1} ، ارتعاش کششی و متقابن گروه های CH_2 در طول موج 2884 cm^{-1} ، ارتعاش خمثی برای مولکول های آب (که به صورت فیزیکی به نانو ذرات اکسید آهن دوپ شده چسبیده شده اند) در طول موج 1643 cm^{-1} ، ارتعاش خمثی پیوندهای C-H در طول موج 1469 cm^{-1} ، ارتعاش پیچشی گروه های C-H در طول موج 1437 cm^{-1} ، ارتعاش جنبه ای برای گروه های CH_2 در طول موج 1384 cm^{-1} ، ارتعاش جنبه ای



شکل (۳): طیف مادون قرمز نمونه‌های (الف) گلوکز/ $Zn\text{-IONs}$ ، (ب) ساکارز/ $Zn\text{-IONs}$ ، (ج) نشاسته/ $Zn\text{-IONs}$ و (د) منطقه بزرگنمایی شده (محدوده زیر 700 cm^{-1}).

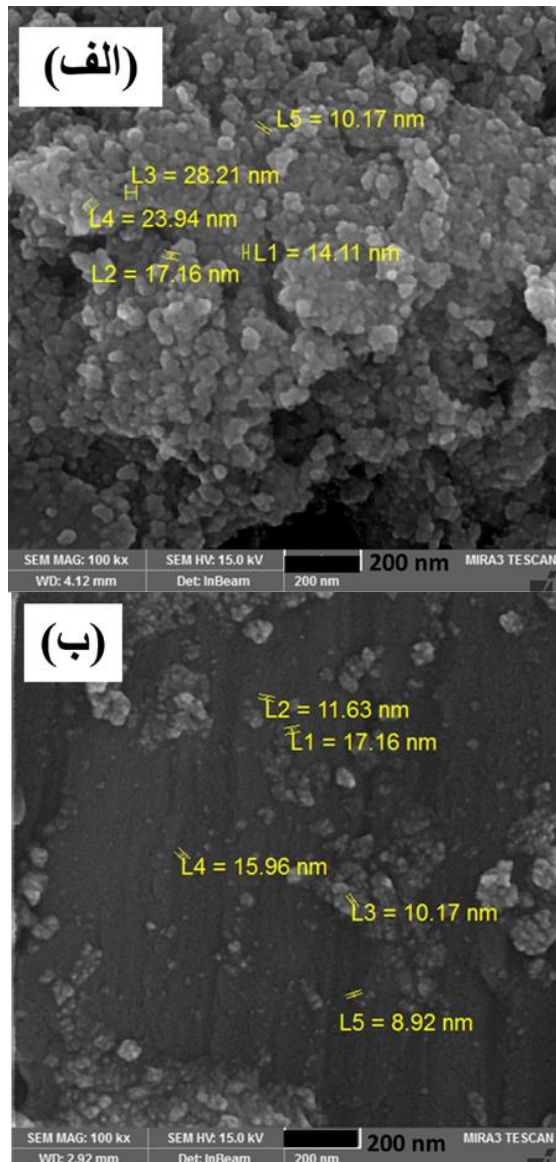
نمونه‌ی نشاسته/ $Zn\text{-IONs}$ نیز دارای پیک‌های جذبی مختلفی در طیف مادون قرمز است (شکل ۳-ج) که دلیل وجود آن‌ها به ارتعاشات زیر بر می‌گردد: ارتعاش کششی $\text{O}-\text{H}$ ، ارتعاشات کششی متقارن و نامتقارن CH_2 ، ارتعاش پیوند مولکول‌های آب، ارتعاشات خمی پیوندهای $\text{C}-\text{H}$ ، نوسانات جنبه‌ای و پیچشی CH_3 ، ارتعاش جنبه‌ای و عرضی CH_2 ، ارتعاشات کششی پیوندهای $\text{C}-\text{C}$ و $\text{C}-\text{O}-\text{C}$ و ارتعاشات عرضی پیوندهای $\text{O}-\text{H}$ و $\text{C}-\text{H}$ [۴۱-۴۷]؛ بنابراین وجود لایه ساکاریدی مربوط به نشاسته در سطح نانو ذرات $Zn\text{-IONs}$ تأیید می‌گردد.

شکل (۳-د) طیف مادون قرمز تمامی نمونه‌ها در طول موج‌های پایین (در محدوده $400\text{--}700\text{ cm}^{-1}$) را نشان می‌دهد. اساساً پیک‌های مربوط به ارتعاشات پیوند فلز-اکسیژن-فلز در این طول موج‌ها مشاهده می‌شود [۴۲-۴۱]. برای نمونه‌های سنتز شده، چهار نوع ارتعاش بهوضوح در محدوده $400\text{--}700\text{ cm}^{-1}$ دیده می‌شود (که به وسیله خطوط نقطه‌چین نشان داده شده است) که عبارت‌اند از: (i) یک جذب مادون قرمز $\text{Fe}^{2+}\text{-}\text{cm}^{-1}$ در $575\text{--}600\text{ cm}^{-1}$ و (ii) ارتعاشات باندهای شیمیایی- O^{2-} در محدوده $540\text{--}560\text{ cm}^{-1}$ [۴۳ و ۳۹]، (iii) یک جذب مادون قرمز در 445 cm^{-1} مربوط به ارتعاش باندهای شیمیایی $\text{Zn}^{2+}\text{-}\text{O}^{2-}$ [۴۳ و ۳۹] و (iv) یک جذب مادون قرمز در $445\text{--}430\text{ cm}^{-1}$ مربوط به ارتعاش باندهای شیمیایی $\text{Zn}^{2+}\text{-}\text{O}^{2-}$ در ناحیه $415\text{--}425\text{ cm}^{-1}$ [۴۳ و ۳۹]. این جذبهای مادون قرمز مشاهده شده در طیف IR نمونه‌های گلوکز/ $Zn\text{-IONs}$ ، ساکارز/ $Zn\text{-IONs}$ و نشاسته/ $Zn\text{-IONs}$ ، تأیید می‌کند که هسته مغناطیسی نمونه‌های سنتز شده دارای ساختار مگنتیت (Fe_3O_4) دوپ شده با کاتیون‌های Zn^{2+} می‌باشد.

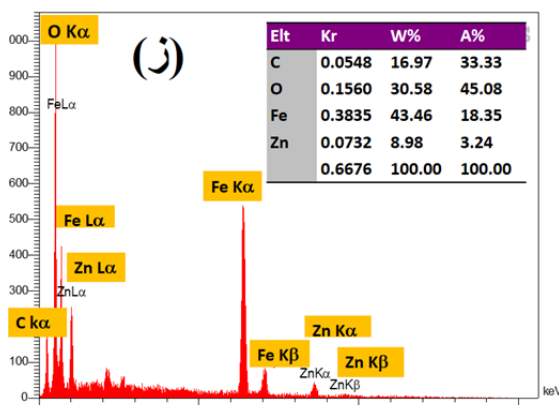
۳-۳-مشخصه‌یابی مورفولوژیکی

مورفولوژی سطحی نمونه‌های $Zn\text{-IONs}$ سنتز شده با میکروسکوپ الکترونی رویشی گسیل میدانی ارزیابی شد.

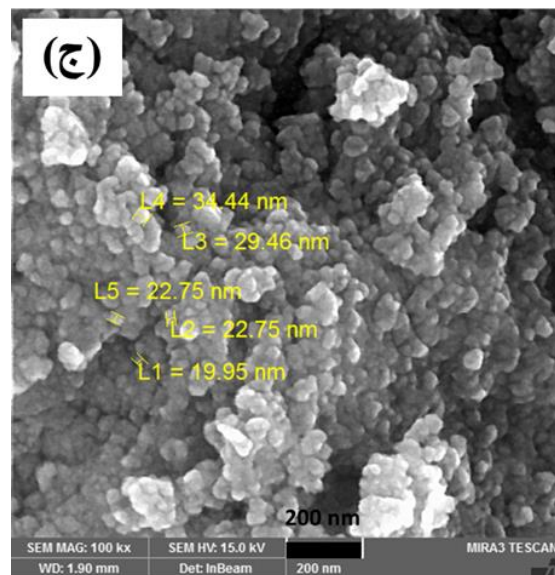
می‌باشد که نشان می‌دهد لایه پوششی تأثیری در روند دوب شده کاتیون‌های Zn^{2+} در طول رسوب‌دهی الکتروشیمیایی ندارد.



مورفولوژی سطحی نمونه‌های تهیه شده در شکل‌های (۴-الف-ج) نشان داده شده است. تمامی نمونه‌ها، مورفولوژی ذره‌ای/دانه‌ای با شکل‌های کروی را نشان دادند. قطر میانگین نانو ذرات مشاهده شده برای گلوکر Zn -IONs، ساکارز/ Zn -IONs، ناشاسته Zn -IONs به ترتیب برابر با ۱۵، ۳۰ و ۲۵ نانومتر تخمین زده شد (جدول ۱). نتایج آنالیز پراش انرژی پرتوایکس و اطلاعات مربوطه برای تمامی نمونه‌ها در شکل (۴-ز) نشان داده شده است. داده‌های مربوط به ترکیب عنصری هر نمونه در جدول (۱) آورده شده است. برای نمونه گلوکر Zn -IONs (شکل ۴-د) عناصر کربن، اکسیژن، آهن و روی با درصدهای وزنی به ترتیب ۰.۰۸/۸۸، ۰.۶/۱۳، ۰.۰۵/۲۷ و ۰.۰۲/۹ شناسایی شدند (جدول ۱). این اطلاعات تأیید می‌کنند که ترسیب شده با فرایند سنتر الکتروشیمیایی حاوی Zn^{2+} درصد وزنی بوده و به عبارتی دوب شده هستند. همچنین حضور ۰.۰۸/۸۸ درصد وزنی عنصر کربن در ترکیب شیمیایی نمونه Zn -IONs پوشش‌دهی سطحی با گلوکر را مورد تأیید قرار می‌دهد. همان‌طوری که در شکل (۴-ر) دیده می‌شود، نمونه ساکارز/ Zn -IONs ترکیب شیمیایی معادل ۰.۰۴/۴۹، ۰.۵۵/۲۸، ۰.۶۴/۱۳ و ۰.۰۱/۴۹ آهن و ۰.۶۶/۸ روی را نشان می‌دهد (جدول ۱). این اطلاعات، دوب شدن کاتیون فلز Zn^{2+} در ساختار IONs سنتر شده و تشکیل Zn -IONs با پوشش سطحی ساکارز را آشکار می‌سازد. برای نمونه ناشاسته Zn -IONs، حضور ۰.۰۷/۱۶، ۰.۰۸/۸۸ و ۰.۰۸/۴۳ درصد کربن، ۰.۰۵/۳۰ اکسیژن، ۰.۰۶/۴۶ آهن و ۰.۰۸/۳۰ اکسید آهن تقریباً ۰.۰۹/۴۳ اکسیژن، ۰.۰۸/۴۶ آهن و ۰.۰۸/۳۰ اکسید آهن تقریباً ۰.۰۹/۴۳ اکسید آهن تأیید می‌گردد (شکل ۴-ز و جدول ۱). این یافته‌ها نشان می‌دهد در طی فرایند سنتر الکتروشیمیایی نانو ذرات، با حفظ ساختار اسپینل معکوس اکسید آهن اکسید آهن تقریباً ۰.۰۹ درصد کاتیون‌های Fe^{2+} در موقعیت‌های هشت‌وجهی (اکتاکتدرال) با کاتیون‌های Zn^{2+} جایگزین شده‌اند و سطح نانو ذرات Zn -IONs تشکیل شده با لایه‌ی ساکاریدی پوشیده شده است. همچنین، میزان دوب شدن نمونه‌های Zn -IONs بین ۰.۰۸/۸ و ۰.۰۸/۸ درصد وزنی



شکل (۴): تصاویر میکروسکوپ الکترونی روبشی و اطلاعات آنالیز عنصری پراش انرژی ایکس برای نمونه‌های (الف، د) گلوکز/
Zn-IONs (ب، ر) ساکارز/Zn-IONs، (ج، ز) ناشاسته/Zn-IONs

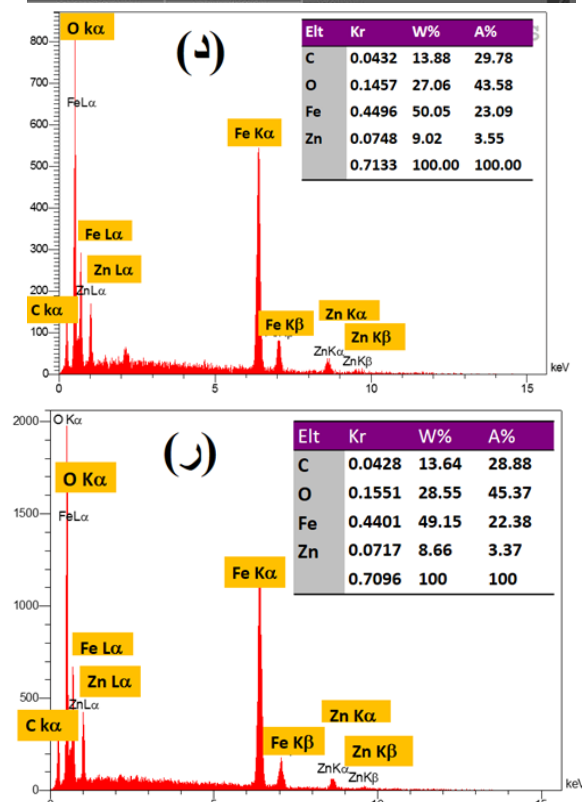


جدول (۱): اطلاعات مربوط به مشخصات مورفولوژیکی و آنالیز عنصری نمونه‌های سنتز شده

تکیب عنصری نمونه				اندازه			ردیف	نام نمونه
روی	دهن	اسیبزن	کربن	ذرات	نام	(نانومتر)		
۹/۰۲	۵۰/۰۵	۲۷/۰۶	۱۳/۸۸	۳۰	گلوکز-/ IONs		۱	
۸/۶۶	۴۹/۱۵	۲۸/۵۵	۱۳/۶۴	۱۵	ساکارز-/ IONs		۲	
۸/۹۸	۴۳/۴۶	۳۰/۵۸	۱۶/۹۷	۲۵	نشاسته-/ IONs		۳	

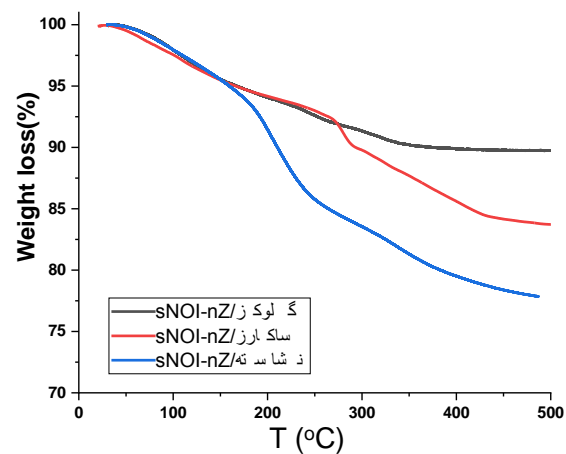
۴-۳- آنالیز ترمومگنومتری

شکل ۵ منحنی ترمومگنومتری برای نمونه‌های گلوکز-/Zn-IONs، ساکارز/Zn-IONs و ناشاسته/Zn-IONs می‌دهد. همان‌طوری که مشخص است با افزایش دما به صورت تدریجی با یک شیب ثابت وزن نمونه‌ها کاهش می‌یابد که ناشی از تجزیه و حذف لایه ساکاریدی از نمونه‌ها است. با حذف لایه ساکاریدی از روی سطح نمونه از دمای حدوداً ۰°C به بعد تغییرات وزنی شرایط نسبتاً پایداری را تجربه می‌کند. طبق شکل ۵، کاهش/افت وزنی کلی برای نمونه‌های گلوکز/Zn-IONs، ساکارز/Zn-IONs، ناشاسته/Zn-IONs به ترتیب برابر با ۱۰/۲۵، ۱۰/۲۸، ۱۶/۲۸ و ۲۲/۱۵ درصد وزنی مشاهده شد. از این مقادیر افت وزنی کلی نمونه‌های گلوکز/Zn-



پایین در شکل ۶-ب) نشان داده شده است. برای تمامی نمونه‌های سنتز شده، ماهیت ابر پارامغناطیسی از منحنی‌های پسماند مغناطیسی برگشت‌پذیر آشکار است. با توجه به شکل ۶-الف)، مقادیر اشباع مغناطیسی (Ms) برای نمونه‌های Zn-IONs، ساکارز/ Zn-IONs و نشاسته/ Zn-IONs به گلوکز/ Zn-IONs، ساکارز/ Zn-IONs و نشاسته/ Zn-IONs ترتیب برابر با $29/7$ ، $24/8$ و $35/7$ emu g^{-1} بود. این مقادیر اشباع مغناطیسی نشان می‌دهد که نمونه نشاسته/ Zn-IONs دارای Ms بزرگ‌تری در مقایسه با دو نمونه دیگر دارد. همچنین این مقادیر خیلی کوچک‌تر از مقدار اشباع مغناطیسی ($\text{Ms}=92$ emu g^{-1}) گزارش شده برای اکسید آهن بالک (Ms=۹۲ emu g^{-1}) می‌باشد. کاهش مقدار Ms در نمونه‌های گلوکز/ Zn-IONs ساکارز/ Zn-IONs و نشاسته/ Zn-IONs را می‌توان به وجود لایه ساکاریدی در سطح نانو ذرات IONs نسبت داد [۴۵-۴۴]. لازم به ذکر است دلیل ذاتی کاهش Ms نانو ذرات مغناطیسی به بنظری در اسپین‌های مغناطیسی در سطح نانو ذرات برمی‌گردد، اگرچه ذرات به خوبی کریستالی هم باشند. درصد چرخش‌های نامنظم کاهش اندازه ذرات را به دلیل افزایش نسبت سطح به حجم افزایش می‌دهد [۳۰، ۴۳-۴۷]. مقادیر اشباع مغناطیسی (Ms) برای نمونه‌های گلوکز/ Zn-IONs ساکارز/ Zn-IONs و نشاسته/ Zn-IONs برای اهداف هایپرترمیا (گرمادرمانی) و تشخیصی قابل قبول است [۲۸ و ۳۵]. دیگر پارامترهای مغناطیسی مانند پایداری مغناطیسی (Mr)، پایداری مغناطیسی مثبت و منفی، و ادارندگی (Hci) و ادارندگی مثبت و منفی از شکل ۶-ب) استخراج شد. داده نمونه‌های پوشش داده با لایه ساکاریدی، عملکرد ابر پارامغناطیسی آن‌ها را تأیید می‌کنند. همان‌طور که در جدول (۲) دیده می‌شود هر سه نمونه مقادیر پایداری و ادارندگی ناچیزی را نشان می‌دهند که رفتار ابر پارامغناطیسی مناسبی برای کاربردهای زیست پزشکی تأیید می‌کند. همچنین، رفتارهای ابر پارامغناطیسی نمونه‌ها با مقادیر گزارش شده برای

Zn-IONs، ساکارز/ Zn-IONs، Zn-IONs نشاسته/ Zn-IONs مقادیر $2/35$ و $2/05$ درصد وزنی در دماهای زیر 0°C ۱۵۰ اتفاق می‌افتد که مربوط به حذف آب سطحی/ساختاری از این نمونه‌ها می‌باشد. لذا، بقیه کاهش وزنی مشاهده شده در منحنی ترمومگراویمتری این نمونه‌ها، مربوط به حذف پوشش ساکاریدی از لایه سطحی نانو ذرات اکسید آهن سنتز شده می‌باشد [۳۰-۳۲]. طبق شکل (۵)، کاهش وزنی مربوط به حذف پوشش ساکاریدی برای نمونه‌های گلوکز/ Zn-IONs، ساکارز/ Zn-IONs نشاسته/ Zn-IONs به ترتیب برابر با $8/19$ ، $13/93$ و $20/1$ درصد وزنی می‌باشد. این نتایج نشان می‌دهد که کاهش وزنی مربوط به نمونه ساکارز/ Zn-IONs نسبت به دو نمونه دیگر حاوی پوشش گلوکز و ساکارز بیشتر می‌باشد که دلیل این امر مربوط به وزن مولکولی بالاتر نشاسته در مقایسه با ساکارز و گلوکز می‌باشد.

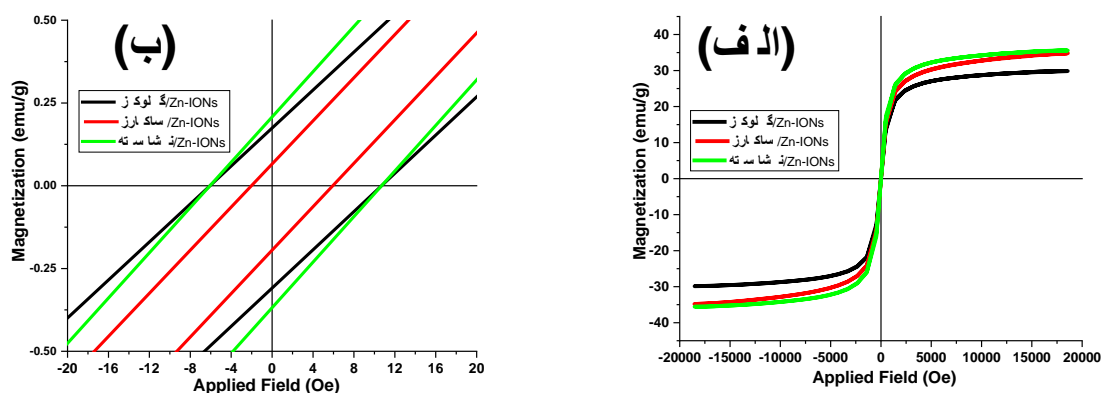


شکل (۵): منحنی TG برای نمونه‌های گلوکز/ Zn-IONs، ساکارز/ Zn-IONs، نشاسته/ Zn-IONs

۵-۳-آالیز مغناطیسی

ویژگی‌های مغناطیسی نمونه‌های Zn-IONs آمده شده با روش مغناطیس‌سنج نمونه مرتعش از طریق ثبت مقادیر مغناطیس پذیری برحسب میدان اعمالی در محدوده -20000 تا $+20000$ G مورد مطالعه قرار گرفت. نتایج منحنی‌های VSM برای هر سه نمونه در شکل (۶-الف) نشان داده شده است. همچنین رفتار ابر پارامغناطیسی نمونه‌ها در میدان‌های اعمالی

نانو ذرات مگنتیت پوشش سطحی شده در مقالات قابل مقایسه است. نمونه ساکارز Zn-IONs در مقایسه با دو نمونه دیگر مقدار پسماند مغناطیسی کوچک‌تری ارائه می‌دهد که دلیل آن به بلورینگی کوچک‌تر (۷/۴ نانومتر محاسبه شده از الگوی XRD) و همچنین اندازه ذرات کوچک‌تر (۱۵ نانومتر) این نمونه مربوط می‌باشد. هر چه قدر اندازه ذرات مغناطیسی کوچک‌تر باشند تعداد تک حوضه‌های مغناطیسی تشکیل شده بیشتر بوده و عملکرد مغناطیسی مطلوبی در اثر میدان ظاهر خواهد شد [۴۵-۴۶]. مقایسه مقادیر Hci در جدول ۲ نشان می‌دهد که نمونه Zn-IONs پوشش داده شده با ساکارز کمترین مقدار وادارندگی مغناطیسی را دارد که به اندازه کوچک‌تر نانو ذرات این نمونه (۱۵ نانومتر، جدول ۱) در مقایسه با دو نمونه دیگر با اندازه ذرات ۲۵-۳۰ نانومتر مرتبط می‌شود. وادارندگی مغناطیسی با کاهش اندازه نانو ذرات Zn-IONs کاهش می‌یابد چراکه با کاهش اندازه نانو ذرات، تک حوضه‌های مغناطیسی تشکیل شده و عملکرد سوپر پارامغناطیسی تقویت می‌شود [۴۶-۴۸].

شکل (۶): (الف) منحنی های M-H و (ب) پسماند در میدان \longleftrightarrow برای نمونه های سنتز شده.

جدول (۲): داده های مغناطیسی نمونه های سنتز شده

ردیف	نام نمونه	اشباع مغناطیسی (Ms, emu/g)	پسماند مغناطیسی (Mr, emu/g)	مثبت Mr (emu/g)	منفی Mr (emu/g)	وادرندگی مشیت (Oe)	وادرندگی (Hci, Oe)	وادرندگی (Oe)
۱	گلوکر/Zn-IONs	۲۹/۷	۰/۲۴	+۰/۱۴	-۰/۳۴	+۱۰/۵	+۸/۹	-۷/۴
۲	ساکارز/Zn-IONs	۳۹/۸	۰/۰۹	+۰/۰۸	-۰/۲۱	+۶/۲	+۳/۶	-۳/۸
۳	نشاسته/Zn-IONs	۳۵/۷	۰/۲۸	+۰/۲۲	-۰/۳۴	+۱۰/۹	+۹/۲	-۸/۱

مغناطیسی emu g^{-1} ، ۳۹/۸ emu g^{-1} ، پسماند مغناطیسی $39/8 \text{ emu g}^{-1}$ وادرندگی $3/6 \text{ Oe}$ دارد که این نانو ذرات می‌توانند به عنوان پایه مغناطیسی با عامل‌های تشخیصی-درمانی متنوع بارگذاری شده و به عنوان عوامل ترانوستیک در کاربردهای زیست پزشکی نظیر هدف‌گیری مغناطیسی، تصویربرداری روزانه مغناطیسی، شیمی درمانی، هایپرترمیا، زیست جداسازی، ژن درمانی، ثبت آنزیم‌ها و رهایش کنترل شده دارو بکار برده شوند.

۴- نتیجه‌گیری

به صورت خلاصه، نانو ذرات اکسید آهن ابر پارامغناطیس پوشش داده شده با ساکاریدها (اعم از گلوکر، ساکارز و نشاسته) با استفاده از فرایند رسوب گذاری الکتروشیمیایی ساده و تک مرحله‌ای سنتز شدن. اطلاعات پراش اشعه ایکس نشان داد که نمونه‌های گلوکر Zn-IONs دارای ساختار بلوری ساکارز/ Zn-IONs و نشاسته/ Zn-IONs مگنتیت بوده و به ترتیب بلورینه‌هایی برابر با $6/2$, $4/7$ و $7/6$ نانومتر دارند. مطالعات میکروسکوپ الکترونی روشنی گسیل میدانی نشان داد که برای تمامی نمونه‌ها میانگین اندازه ذرات در حدود 20 نانومتر می‌باشد. ارزیابی‌های VSM تأیید کرد که نمونه‌های گلوکر/ Zn-IONs , ساکارز/ Zn-IONs و نشاسته/ Zn-IONs تهیه شده ماهیت ابر پارامغناطیسی مناسب با مقادیر پسماند مغناطیسی ناچیز را نشان می‌دهند. نتایج آنالیزهای ساختاری-مورفولوژیکی-مغناطیسی نشان داد که نمونه‌های Zn-IONs سنتز شده دارای خصوصیات فیزیکوشیمیایی و مغناطیسی مطلوبی برای کاربردهای زیست پزشکی هستند. از بین نمونه‌های سنتز شده، نمونه ساکارز/ Zn-IONs بهترین عملکرد ابرمغناطیسی با بروز اشباع

۵- مراجع

- [۱] A. V. Samrota, C. S. Sahithy, J. Selvarani A, S. K. Purayil & P. Ponnaiah, "A review on synthesis, characterization and potential biological applications of superparamagnetic iron oxide nanoparticles", Current Research in Green and Sustainable Chemistry. vol. ۴, p. ۱۰۰۴۲, ۲۰۲۱.
- [۲] F. Reyes-Ortega, Á. V. Delgado, & G. R. Iglesias, "Modulation of the Magnetic Hyperthermia Response Using Different Superparamagnetic Iron Oxide Nanoparticle Morphologies", Nanomaterials. vol. ۱۱, no. ۳, p. ۶۲۷, ۲۰۲۱.

capacitive and super-paramagnetic performances of Co^{+} doped Fe_3O_4 ultra-fine particles", Journal of Materials Science: Materials in Electronics. vol. 29, no. 24, p. 2291, 2018.

[۱۲] E. Russell, V. Dunne, B. Russell, H. Mohamud, M. Ghita, S.J. McMahon, K.T. Butterworth, G. Schettino, C.K. McGarry, K. M. Prise, "Impact of superparamagnetic iron oxide nanoparticles on in vitro and in vivo radiosensitisation of cancer cells", Radiation Oncology. vol. 16, p. 104, 2021.

[۱۳] D. M Diaz-Diestra, T. Palacios-Hernandez, Y. Liu, D. E. Smith, A.K. Nguyen, T. Todorov, P.J. Gray, J. Zheng, S.A. Skoog, P.L. Goering, "Impact of Surface Chemistry of Ultrasmall Superparamagnetic Iron Oxide Nanoparticles on Protein Corona Formation and Endothelial Cell Uptake, Toxicity, and Barrier Function", Toxicological Sciences. vol. 188, p. 261, 2022.

[۱۴] N. Elahi, M. Rizwan, "Progress and prospects of magnetic iron oxide nanoparticles in biomedical applications: A review", Artificial Organs. vol. 45, p. 1272, 2021.

[۱۵] R. Wei, Y. Liu, J. Gao, V.W. Yong, M. Xue, "Small functionalized iron oxide nanoparticles for dual brain magnetic resonance imaging and fluorescence imaging", RSC Advances. vol. 11, p. 12867, 2021.

[۱۶] I. Karimzadeh, H. Rezagholipour Dizaji, M. Aghazadeh, "Preparation, characterization and PEGylation of superparamagnetic Fe_3O_4 nanoparticles from ethanol medium via cathodic electrochemical deposition (CED) method", materials Research Express. vol. 2, no. 9, p. 095022, 2016.

[۱۷] J.H. Juang, J.J. Wang, C.R. Shen, C.Y. Chen, C.W. Kao, C.L. Chen, S.H. Lin, S.T. Wu, W.C. Li, Z.T. Tsai, "Magnetic Resonance Imaging of Transplanted Porcine Neonatal Pancreatic Cell Clusters Labeled with Chitosan-Coated

[۱۸] E. Álvarez, M. Estévez, A. Gallo-Cordova, B. González, R. R. Castillo, M. Del Puerto Morales, M. Colilla, I. Izquierdo-Barba & M. Vallet-Regí, "Superparamagnetic Iron Oxide Nanoparticles Decorated Mesoporous Silica Nanosystem for Combined Antibiofilm Therapy", Pharmaceutics. vol. 14, no. 1, p. 163, 2020.

[۱۹] Y. Wu, R. Zhang, H.D. N. Tran, N.D. Kurniawan, S.S. Moonshi, A.K. Whittaker, H.T. Ta, "Chitosan Nanococktails Containing Both Ceria and Superparamagnetic Iron Oxide Nanoparticles for Reactive Oxygen Species-Related Theranostics", ACS Appl. Nano Material. vol. 4, no. 4, p. 3604, 2021.

[۲۰] Z. Zhuo, J. Wang, Y. Luo, R. Zeng, C. Zhang, W. Zhou, K. Guo, H. Wu, W. Sha, H. Chen, "Targeted extracellular vesicle delivery systems employing superparamagnetic iron oxide nanoparticles", Acta Biomaterialia. vol. 134, p. 13, 2021.

[۲۱] C. Chen, J. Ge, Y. Gao, L. Chen, J. Cui, J. Zeng, M. Gap, "Revisiting the Role of Physical Confinement and Chemical Regulation of Li^+ Hosts for Dendrite-Free Li Metal Anode", WIREs Volume 14, Issue 1 (2022) e174.

[۲۲] M. Aghazadeh, M.R. Ganjali, "Enhancing the Supercapacitive and Superparamagnetic Performances of Iron Oxide Nanoparticles through Yttrium Cations Electro-chemical Doping", Journal of Materials Science. vol. 53, p. 295, 2018.

[۲۳] M. Hosseini, M. Aghazadeh, M.R. Ganjali, "Electrochemical Sensor Based on Carbon Nanotubes Decorated with ZnFe_3O_4 Nanoparticles Incorporated Carbon Paste Electrode for Determination of Metoclopramide and Indomethacin", Chemistry Select. vol. 4, no. 20, p. 7616, 2019.

[۲۴] M. Aghazadeh, I. Karimzadeh, M.R. Ganjali, "Improvement of supercapacitive and superparamagnetic capabilities of iron oxide through electrochemically grown La^{3+} doped Fe_3O_4 nanoparticles", Journal of Materials Science: Materials in Electronics. vol. 28, no. 24, p. 19061, 2017.

[۲۵] M. Aghazadeh, M.R. Ganjali, "One-pot electrochemical synthesis and assessment of super-

[۲۵] ف. مهدوی و ب. هاشمی، "ستنت فروسیال فریت روی و بررسی خواص مغناطیسی و رئولوژیکی آن"، فصلنامه فرآیندهای نوین در مهندسی مواد، دوره ۱۶، شماره ۱، صفحه ۹۲-۷۷، ۱۴۰۱.

[۲۶] X. Xu, H. Xiang, Z. Wang, C. Wu, C. Lu, "Doping engineering and functionalization of iron oxide nanoclusters for biomedical applications", Journal of Alloys and Compounds. vol. ۹۲۳, p.۱۶۶۴۵۹, ۲۰۲۲.

[۲۷] S. S. Laha, N.D. Thorat, G. Singh, C. I. Sathish, J. Yi, A. Dixit, A. Vinu, " Rare-Earth Doped Iron Oxide Nanostructures for Cancer Theranostics: Magnetic Hyperthermia and Magnetic Resonance Imaging", Small. vol. ۱۸, p.۲۱۰۴۸۵۵, ۲۰۲۲.

[۲۸] H. Du, O.U. Akakuru, C. Yao, F. Yang, A. Wu, " Transition metal ion-doped ferrites nanoparticles for bioimaging and cancer therapy", Translational Oncology. vol. ۱۵, p.۱۰۱۲۶۴, ۲۰۲۲.

[۲۹] H. Du, C.Y. Yao, H. Peng, B. Jiang, S.X. Li, J. L. Yao, F. Zheng, F. Yang, A.G. Wu, "Applications of Transition Metal-doped Iron-based Nanoparticles in Biomedicine", Chinese Journal of Applied Chemistry. vol. ۳۹, no. ۳, p.۳۹۱, ۲۰۲۲.

[۳۰] R. Yadwade, S. Kirtiwar, B. Ankamwar, "A Review on Green Synthesis and Applications of Iron Oxide Nanoparticles", Journal of Nanoscience and Nanotechnology, Vol. ۲۱, no. ۱۲, p.۵۸۱۲, ۲۰۲۱.

[۳۱] O. Abu Noqta, A. Abdul Aziz, I. Adamu Usman, M. Bououdina, "Recent Advances in Iron Oxide Nanoparticles (IONPs): Synthesis and Surface Modification for Biomedical Applications", Journal of Superconductivity and Novel Magnetism. vol. ۳۲, p. ۷۷۹, ۲۰۱۹.

[۳۲] M. Aghazadeh, M.R. Ganjali, " Enhancing the Supercapacitive and Superparamagnetic Performances of Iron Oxide Nanoparticles through Yttrium Cations Electro-chemical Doping", Ceramic International, vol. ۴۴, p.۵۲۰, ۲۰۱۸.

Superparamagnetic Iron Oxide Nanoparticles in Mice", Polymers. vol. ۱۳, no. ۸, p.۱۲۳۸, ۲۰۲۱.

[۱۸] D. Barbaro, L. Di Bari, V. Gandin, C. Marzano, A. Ciaramella, M. Malventi, C. Evangelisti, " Glucose-coated superparamagnetic iron oxide nanoparticles prepared by metal vapor synthesis can target GLUT¹ overexpressing tumors: In vitro tests and in vivo preliminary assessment", Plos One. ۲۰۲۲. <https://doi.org/10.1371/journal.pone.0269603>.

[۱۹] L.M. Ngema, S.A. Adeyemi, T. Marimuthu, P. Ubanako, D. Wamwangi, Y.E. Choonara, " Synthesis of Novel Conjugated Linoleic Acid (CLA)-Coated Superparamagnetic Iron Oxide Nanoparticles (SPIONs) for the Delivery of Paclitaxel with Enhanced In Vitro Anti-Proliferative Activity on A⁵⁴⁹ Lung Cancer Cells ", Pharmaceutics. vol. ۱۴, no. ۴, p.۸۲۹, ۲۰۲۲.

[۲۰] M. Aghazadeh, I. Karimzadeh, M.R. Ganjali, M. Mohebi Morad, "A novel preparation method for surface coated superparamagnetic Fe³⁺O⁴ nanoparticles with vitamin C and sucrose", Materials Letter. vol. ۱۹۶, p.۳۹۲, ۲۰۱۷.

[۲۱] ف. حیدری، ر. بازرگان لاری و م. ا. بحرالعلوم، "ساخت و بررسی خواص نانوکامپوزیت طبیعی و زیست سازگار کایتوسین/مگنتیت"، فصلنامه فرآیندهای نوین در مهندسی مواد، دوره ۹، شماره ۳، صفحه ۲۵۷-۲۴۷، ۱۳۹۴.

[۲۲] م. محمدعلیزاده هنجنی، ا. قاسمی و ا. منشی، "تأثیر دمای ستنت بر ویژگی‌های نانو ذرات مغناطیسی اکسید آهن در روش همرسوبی"، فصلنامه فرآیندهای نوین در مهندسی مواد، دوره ۴، شماره ۳، صفحه ۸۹-۸۱، ۱۳۹۱.

[۲۳] ع. جوانی و ف. جوادی زرنقی، "اثرات مونوساکاریدها و دی ساکاریدها بر نانو ذرات طلا در ساخت زیست حسگرهای تشخیصی"، مجله دانشگاه علوم پزشکی شهرکرد، دوره ۲۰، شماره ۵، صفحه ۱-۱۲، ۱۳۹۷.

[۲۴] ز. حسن‌زاده، ق. عمودی عابدینی، م. اوجی و ع. ا. سیف کردی، "زیست عمل گرا کردن نانو ذرات مغناطیسی با پلیمر نشاسته"، اولین همایش ملی تکنولوژی‌های نوین در شیمی و پتروشیمی، تهران، ۱۳۹۳.

- [۳۹] F. Chen, W. Bu, C. Lu, G. Chen, M. Chen, X. Shen, R. Liu, J. Shi, " Hydrothermal Synthesis of a Highly Sensitive T₁-Weigthed MRI Contrast Agent: Zinc-Doped Superparamagnetic Iron Oxide Nanocrystals", Journal of Nanoscience and Nanotechnology. vol. ۱۱, no. ۱۲, p.۱۰۴۳۸, ۲۰۱۱.
- [۴۰] D.K. Kim, M. Mikhaylova, F.H. Wang, J. Kehr, B. Bjelke, Y. Zhang, T. Tsakalakos, Muhammed, " Starch-Coated Superparamagnetic Nanoparticles as MR Contrast Agents", Chemistry of Materials. vol. ۱۵, p.۴۳۴۳, ۲۰۰۳.
- [۴۱] C. Chen, X. Jiang, Y. Kaneti, A. Yu, " Design and construction of polymerized-glucose coated Fe₃O₄ magnetic nanoparticles for delivery of aspirin", Power Technology. vol. ۲۳۶, p.۱۵۷, ۲۰۱۳.
- [۴۲] X. Sun, C. Zheng, F. Zhang, Y. Yang, G. Wu, A. Yu, N. Guan, " Size-Controlled Synthesis of Magnetite (Fe₃O₄) Nanoparticles Coated with Glucose and Gluconic Acid from a Single Fe(III) Precursor by a Sucrose Bifunctional Hydrothermal Method", The Journal of Physical Chemistry. vol. ۱۱۳, no. ۳۶, p.۱۶۰۰۲, ۲۰۰۹.
- [۴۳] M. Aghazadeh, "Zn-doped magnetite nanoparticles: development of novel preparation method and evaluation of magnetic and electrochemical capacitance performances", Journal of Materials Science: Materials in Electronics. vol. ۲۸, p.۱۸۷۵۵, ۲۰۱۷.
- [۴۴] ز. حسن‌زاده، ق. عمرو عابدینی، ع. ا. سيف كردي و ع. وزيرى، "بررسی تولید نانو ذرات مغناطیسی زیست عمل گرا شده با پوشش نشاسته در مقایسه با نانو ذرات مغناطیسی بدون پوشش"، مجله تازه‌های بیوتکنولوژی سلولی و مولکولی، دوره ۵، شماره ۱۸، صفحه ۶۹-۷۴، ۱۳۹۴.
- [۴۵] م. نظری، ع. ا. روحانی و ص. ع. منافی، "سنتز نانو ذرات سوپر پارامغناطیسی اکسید آهن به روش رسوب‌دهی شیمیایی و بررسی پارامترهای مؤثر بر آن"، مجله تحقیقات مواد نانو کامپوزیتی، دوره ۲، شماره ۵، صفحه ۴۳-۴۹، ۱۳۸۹.
- [۴۶] ا. تعاوی گیلان، "سنتز و مشخصه‌بایی نانو ذرات مغناطیسی اکسید آهن اصلاح شده با مخلوط پلیمری نشاسته/کربوکسی متیل سلولز برای
- [۳۳] M. Aghazadeh, " Cathodic Electrochemical Deposition of Nanostructured Metal Oxides/Hydroxides and their Composites for Supercapacitor Applications: A Review", Anallatical and Bioanalytical Electrochemistry, vol. ۱۱, no. ۲, p.۲۱۱, ۲۰۱۹.
- [۳۴] D. Sivakumar, M. Mohamed Rafi, B. Sathyaseelan, K.M. Prem Nazeer, A.M. Ayisha Begam, " Saccharide-capped Superparamagnetic Copper Cations-doped Magnetite Nanoparticles for Biomedical Applications: A Novel and Simple Synthesis Procedure, In-situ Surface Engineering and Characterization", International Journal of Nano Dimension, vol. ۸, no. ۳, p.۲۵۷, ۲۰۱۷.
- [۳۵] W. Chen, Y. Xu, D. Yang, P. Wang, Y. Xu, J. Zhu, D. Cui, " Preparation of Liposomes Coated Superparamagnetic Iron Oxide Nanoparticles for Targeting and Imaging Brain Glioma", Nano Biomedicine and Engineering. vol. ۱۴, no. ۱, p.۷۱, ۲۰۲۲.
- [۳۶] D.D. Herea, H. Lupu, N. Grigoras, M. Stoian, G. Stoica, B.A. Petreusb, "Study on iron oxide nanoparticles coated with glucose-derived polymers for biomedical applications", Applied Surface Science. vol. ۳۲۵, p.۱۱۷, ۲۰۱۵.
- [۳۷] B. Ates, A. Ulu, S. Koytepe, S. Abbas Ali Nom, V. S. Kolatb, T. Izgi, " Magnetic-propelled Fe₃O₄-chitosan carriers enhance l-asparaginase catalytic activity: a promising strategy for enzyme immobilization", RSC Advances. vol. ۸, p.۳۶۰۶۳, ۲۰۱۸.
- [۳۸] D. Sivakumar, M. Mohamed Rafi, B. Sathyaseelan, K.M. Prem Nazeer, A.M. Ayisha Begam, " Saccharide-capped Superparamagnetic Copper Cations-doped Magnetite Nanoparticles for Biomedical Applications: A Novel and Simple Synthesis Procedure, In-situ Surface Engineering and Characterization", International Journal of Nano Dimension. Vol. ۸, p.۲۵۷, ۲۰۱۷.

بررسی رهاسازی هدمند داروی ضد ویروس آسیکلوفیر، نانو مواد،

سال دهم، شماره ۳۳، صفحه ۱۱-۲۱، ۱۳۹۷.

۶- پی‌نوشت

[۱] Iron Oxide Nanoparticles (IONs)

[۲] Magnetic Resonance Imaging

[۳] Enzyme Immobilization

[۴] Bio-Sensing

[۵] Cell Labeling

[۶] Drug Delivery

[۷] Hyperthermia Agents

[۴۷] م. جزیره پور هرمزی، م. ح. شمس، "سترنز و مشخصه یابی نانو

میله‌های $\text{Fe}_2\text{O}_3/\text{BaFe}_2\text{O}_1$ و بررسی خواص مغناطیسی آنها"،

فصلنامه فرآیندهای نوین در مهندسی مواد، دوره ۱۱، شماره ۱، صفحه

.۱۳۹۶، ۱۳۹-۱۴۸

[۴۸] ر. احمدی و م. ح. شاعری، "تولید و کاربرد نانو ذرات اکسید آهن

با پوشش یదدار برای تصویربرداری پزشکی دوگانه CT-MRI"، نانو

مواد، سال نهم، شماره ۳۰، صفحه ۱۲۱-۱۲۹، ۱۳۹۶.